

Figura 129. Simulación Longley Rice, Montería canal 16

Estación Montería, canal 17

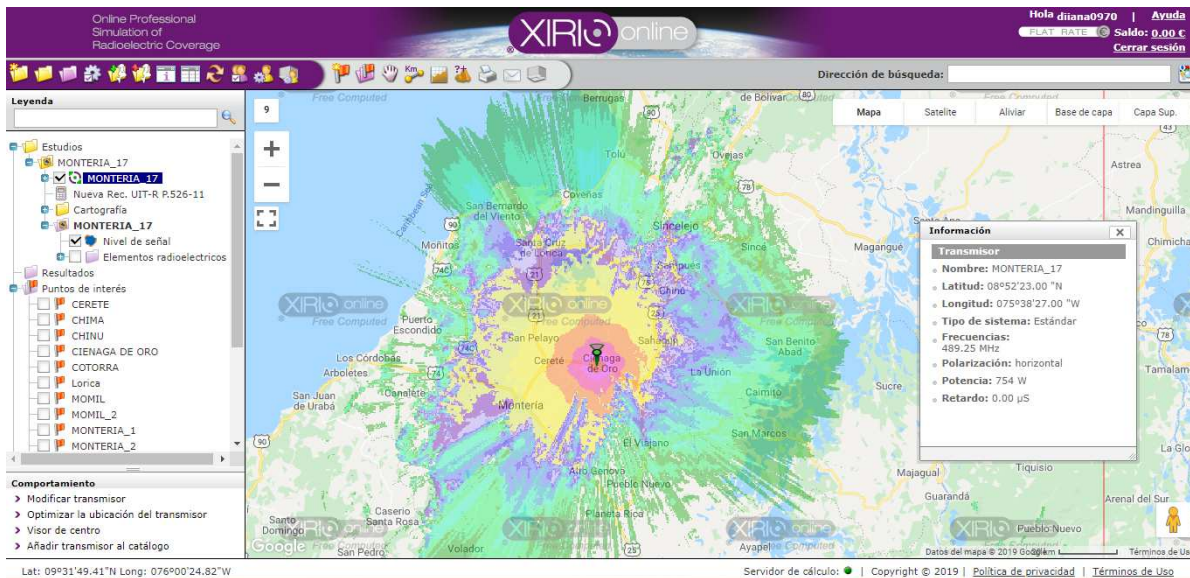


Figura 130. Simulación de UIT-R P.526-11, Montería canal 17

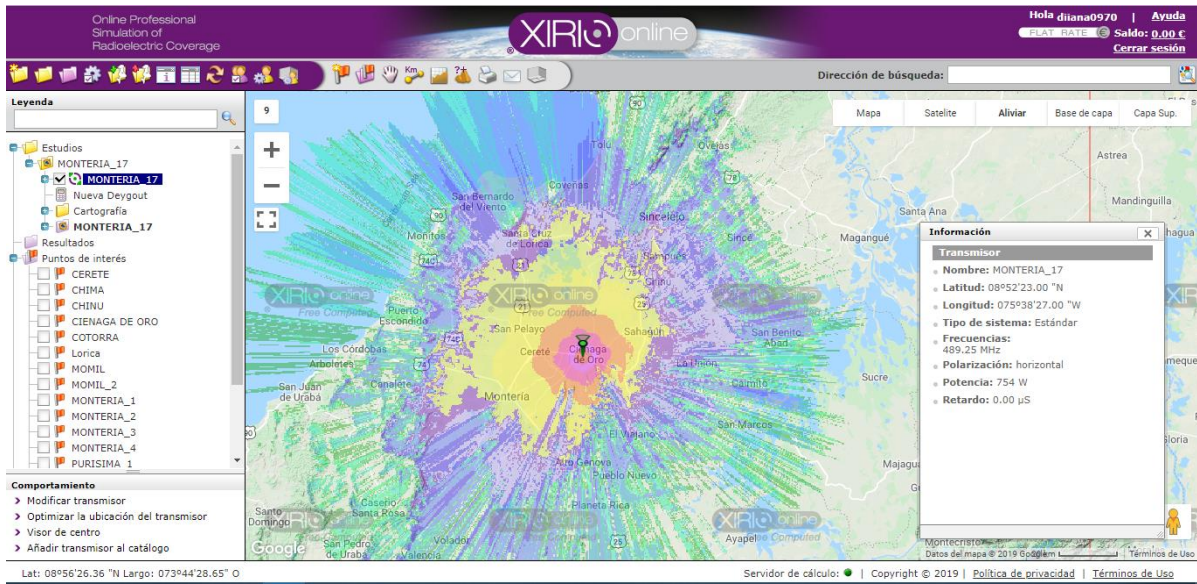


Figura 131. Simulación de Deygout, Montería canal 17

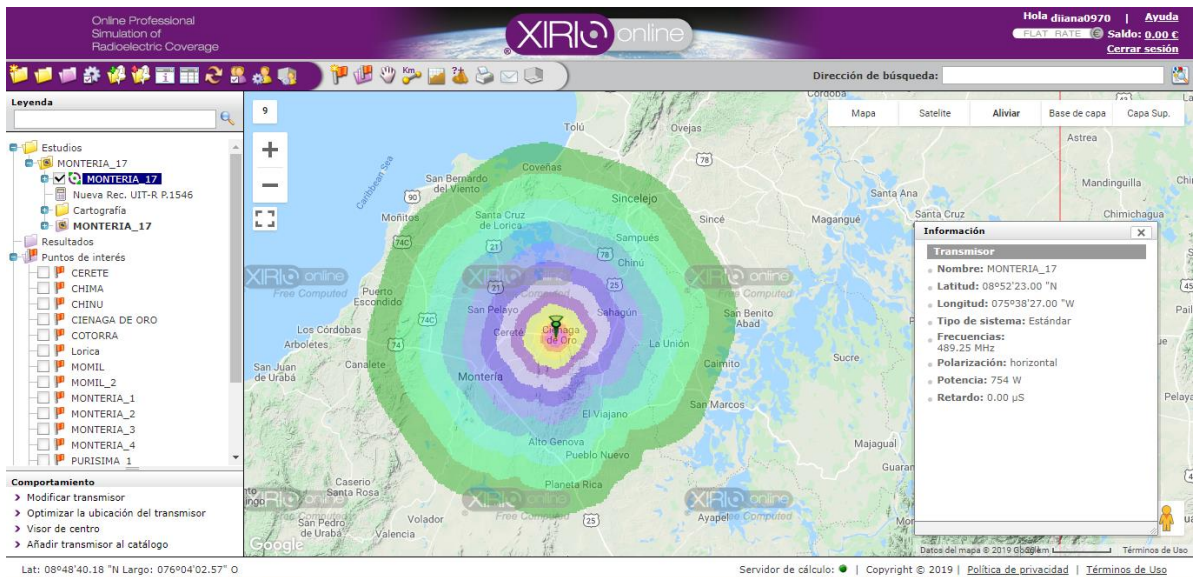


Figura 132. Simulación de UIT-R P.1546, Montería canal 17

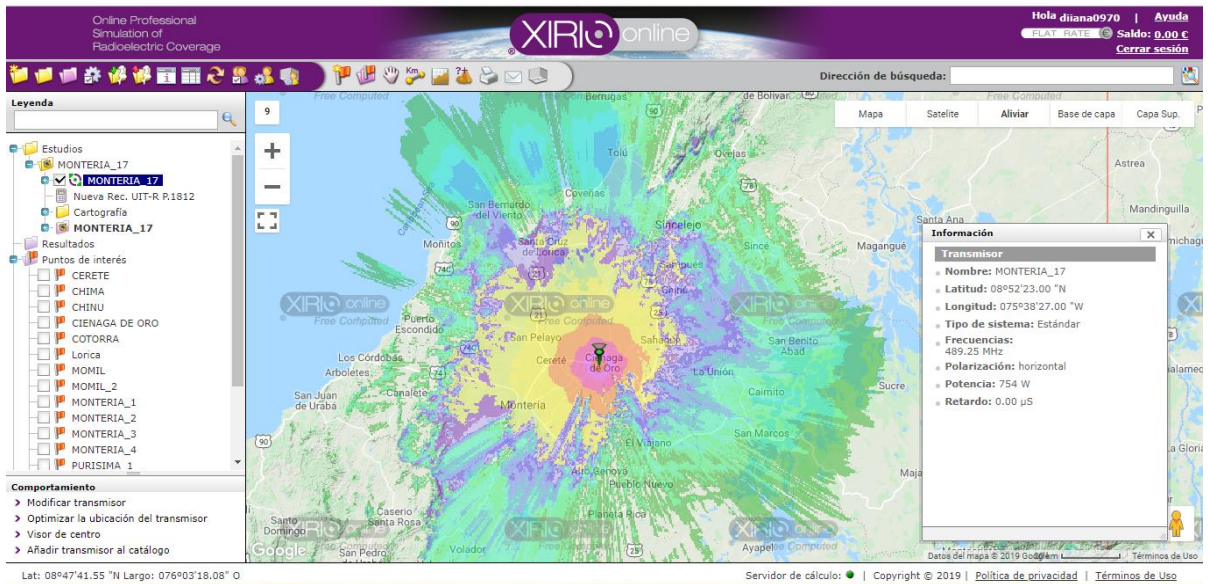


Figura 133. Simulación de UIT-R P.1812, Montería canal 17

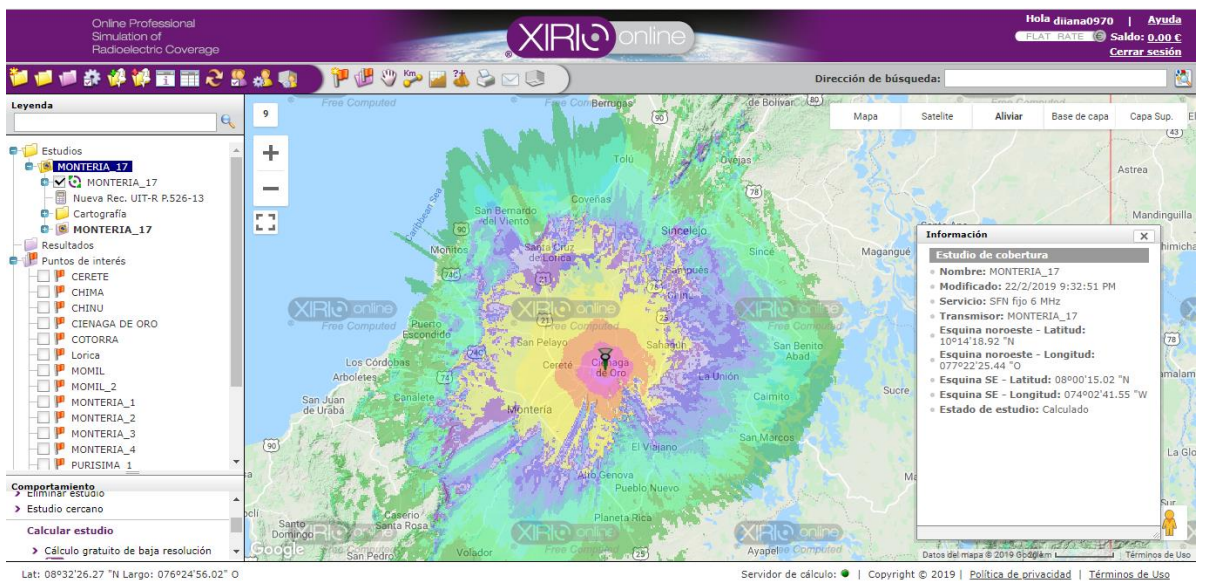


Figura 134. Simulación de Okumura-Hata, Montería canal 17

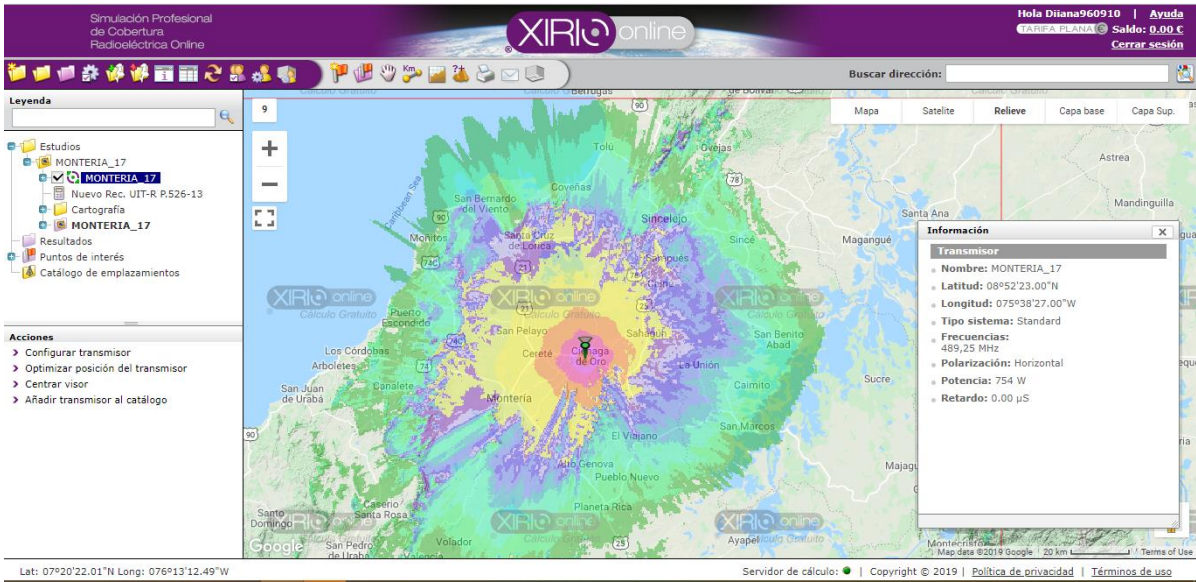


Figura 135. Simulación de UIT-R P.526-13, Montería canal 17

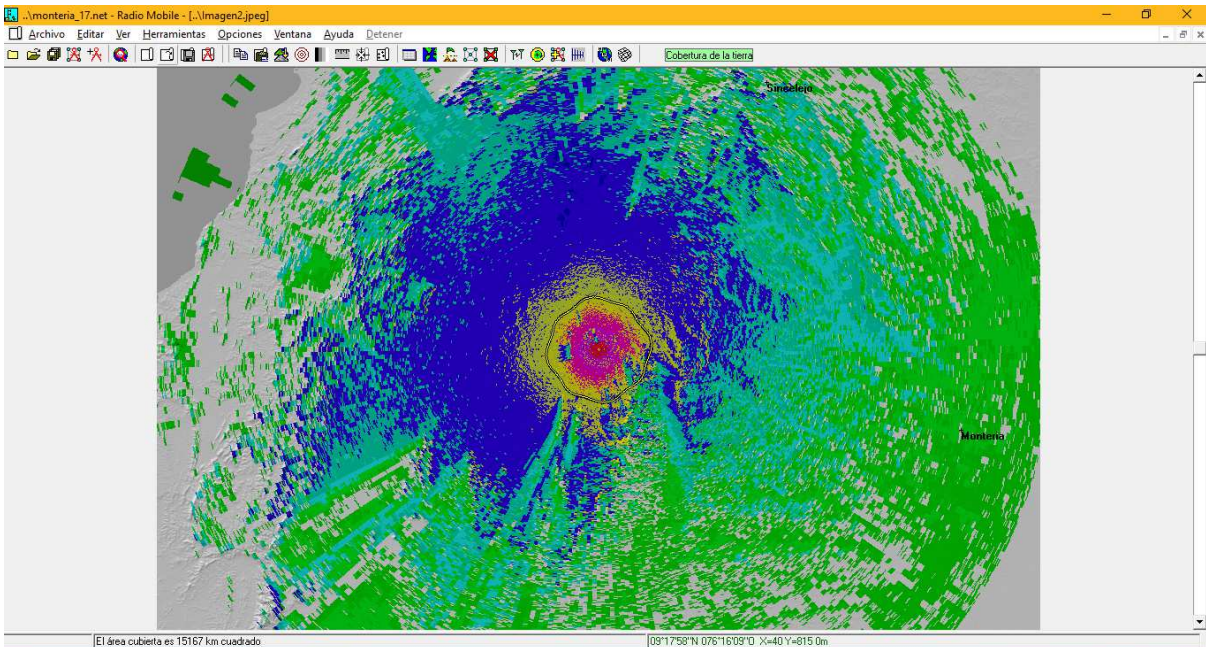


Figura 136. Simulación Longley Rice, Montería canal 17